



# عِلَةَ آدَابِ كَرِكَ وَكُ ، الجِلد الأول، العدد الثَّالث أملول ٢٠٢٥

جَيْهُ وبِنَا المراق/وزارة التمليم المالةِ والبِلاث المليُّهِ لِبَامِنَ هِيهُ وهِم الحَالِيَ الأَمالِ الرَالَةِ والبِلاث المليَّةِ المُعامِدُ المُعالِم المُ



#### معلومات الباحث

اسم الباحث: أ.م.د بلسم شاكر شنيشل

البريد الالكتروني: balsam\_shneshil@aliraqia.edu.iq

الاختصاص العام: الجغرافية الطبيعية

<u>الاختصاص الدقيق</u>: المناخ ونظم المعلومات الجغرافية مكان العمل (الحالي):

القسم: الجغرافية ونظم المعلومات الجغرافية

الكلية: الآداب

<u>الجامعة</u> او المؤسسة: <u>ا</u>لجامعة العراقية البلد: العراق

الكلمات المفتاحية: الشدة المطرية؛ تصنيفWMO ؛ العراق؛ التحليل المكاني الزماني؛ الأمطار المتطرفة.

#### معلومات البحث

تاریخ استلام البحث: ۲۰۲۵/۹/۱

تاریخ القبول: ۵۱/۹/۵۲،۲

#### عنوان البحث

التحليل المكاني لتكرار الشدات المطرية في العراق

#### ملخص البحث

يستعرض هذا البحث التحليل المكاني الزماني لتكرار الشدات المطربة في العراق خلال المدة (٢٠٠٧-٢٠١٨)، باستخدام بيانات الأمطار الساعية واليومية لست محطات رئيسة تمثل التباين الطبوغرافي والمناخي (دهوك، السليمانية، الرطبة، بغداد، الحي، البصرة). جرى اعتماد تصنيف المنظمة العالمية للأرصاد الجوبة (WMO) الذي يقسم الأمطار إلى خفيفة ( 2.5> ملم/ساعة ) ، ومتوسطة (٢,٥-١٠ ملم/ساعة)، شديدة (١٠٠-٥ ملم/ساعة)، وغزيرة جدًا/عنيفة ( 50 حملم/ساعة )، أظهرت النتائج سيادة الأمطار الخفيفة في عموم المحطات بواقع يزيد على (٧٧,٠٠٠) حالة لكل محطة، مع تميّز المحطات الجبلية الشمالية بارتفاع تكرار الأمطار المتوسطة والشديدة (٦٠٥ حالة متوسطة و٨٦ شديدة في دهوك) ؛ ( ٥٥٤ متوسطة و٧١ شديدة في السليمانية)، بينما اقتصرت الأمطار العنيفة على حالات نادرة في بغداد، السليمانية، والبصرة، زمنياً تركزت الأمطار الخفيفة في ساعات الليل والفجر، والمتوسطة في الفترات الصباحية-الظهيرة، فيما غلبت الأمطار الشديدة على ساعات المساء، مما يعكس أثر الرفع التضاريسي والتسخين والاضطرابات السينوبتيكية، وأكدت دراسة الحالات المطرية الغزيرة (٤٥ -٦٢ ملم/ ساعة) أنّ تكامل الأخاديد العلوية عند ٥٠٠ هكتوباسكال مع التدفقات الرطبة عند ٨٥٠ هكتوباسكال والمنخفضات السطحية عند ١٠٠٠ هكتوباسكال يُعد العامل الرئيس في توليد الهطول الشديد، تبرز النتائج الفوارق المكانية بين الشمال الرطب والجنوب والغرب الجاف، وتؤكد هشاشة المناخ شبه الجاف في العراق أمام الأمطار المتطرفة النادرة، يسهم هذا البحث في وضع أساس علمي لإدارة الموارد المائية، الحد من مخاطر السيول والفيضانات، وتعزيز دقة النماذج التنبؤية في ظل سيناربوهات التغير المناخي.



#### Kirkuk Journal of Arts Volume one, Number Three, , June 2025

college of Arts I Kirkuk University I Republic of Iraq Ministry of Higher education and scientific research



#### **Researcher information**

Researcher: Assist Proff. Balsam

ShakerShnichal

E-mail: balsam\_shneshil@aliraqia.edu.iq

General Specialization: Physical Geography

Specialization: Climate & GIS

Place of Work (Current):

Department: Geography & GIS

College: Art

<u>University or Institution</u> <u>AL-Iraqia University</u>

**Country**: Iraq

<u>Key words:</u> Rainfall intensity; WMO classification; Iraq; spatiotemporal analysis; extreme precipitation.

#### : Search information

Search Receipt history: 1/9/2025

Acceptance: 15/9/2025

#### The Title

Spatiotemporal Analysis of Rainfall Intensity Frequency in Iraq

#### **Abstract**

This study investigates the spatiotemporal variability of rainfall intensity in Iraq during the period 2007–2018, using hourly and daily precipitation data from six representative stations (Duhok, Sulaymaniyah, Rutba, Baghdad, Al-Hayy, and Basrah). Rainfall events were classified according to the World Meteorological Organization (WMO) standard: light (<2.5 mm/h), moderate (2.5–10 mm/h), heavy (10–50 mm/h), and violent (>50 mm/h). Results show a clear dominance of light rainfall across all stations, exceeding 77,000 events per station, while northern mountainous stations recorded the highest frequencies of moderate and heavy rains (605 moderate and 86 heavy cases in Duhok; 554 moderate and 71 heavy in Sulaymaniyah). Violent rainfall was extremely rare, occurring only in isolated cases in Baghdad, Sulaymaniyah, and Basrah. Temporally, light rains prevailed during night and early morning hours, moderate rains during late morning and afternoon, and heavy rains during the evening, reflecting the combined influence of orographic lifting, convective heating, and synoptic disturbances. Case studies of extreme storms (45-62 mm/24h) confirmed the crucial role of upper-air troughs at 500 hPa, moist advections at 850 hPa, and surface cyclones at 1000 hPa in generating severe precipitation. The findings highlight substantial spatial disparities between the humid north and the arid west and south, underscoring the vulnerability of Iraq's semi-arid climate to rare but extreme rainfall events. This research provides a scientific foundation for water resource management, flood risk reduction, and improving predictive modeling under climate change scenarios.

### اولاً: المقدمة.

تُعدّ محطات الرصد المناخي في العراق الركيزة الأساسية لفهم التباينات المطربة مكانياً وزمانياً، إذ تتوزع هذه المحطات على بيئات طوبوغرافية ومناخية متباينة تعكس خصائص الإقليم وتنوعه الطبيعي. تقع محطة دهوك في الشمال العراقي ضمن نطاق جبال زاجروس بارتفاع يفوق ٥٦٥ م فوق مستوى سطح البحر، ما يجعلها بيئة ذات تنوع تضاريسي نشطة تُسهم في تكثيف الأمطار عند اصطدام الكتل الهوائية الرطبة، أما محطة السليمانية فتتمركز على ارتفاع يقارب ٨٥٣ م في الشمال الشرقي، إذ تبرز كأحد المراكز الرئيسة للأمطار الغزيرة نتيجة طبيعتها الجبلية المفتوحة على المؤثرات الجوية من شرق المتوسط وتركيا، وعلى العكس من ذلك، تقع محطة بغداد في وسط العراق على سهل رسوبي منبسط بارتفاع ٣٢ م فوق مستوى البحر، وتمثل منطقة انتقالية بين الشمال الرطب نسبياً والجنوب الجاف، الأمر الذي يجعلها عرضة لتقلبات مناخية حادة. وفي جنوب شرق بغداد تقع محطة الحي بارتفاع يقارب ٢٠ م، وتُظهر بياناتها خصائص وسطية بين بغداد والبصرة، إذ تتأثر بامتداد الأخاديد العلوية والمنخفضات الجوية. أما محطة الرطبة فتقع في الهضبة الغربية على ارتفاع يزيد عن ٦٢٠ م، وهي منطقة شبه جافة تسودها ظروف مناخية جافة، إلَّا أنّ موقعها المرتفع يجعلها تستجيب للأخاديد العلوبة العابرة وتُسجّل أحياناً أمطاراً شديدة. وأخيراً، تقع محطة البصرة في أقصى الجنوب على ارتفاع يقارب ٥ م فوق مستوى البحر بالقرب من الخليج العربي و يسودها مناخ صحراوي حار، غير أنّ قربها من مصدر رطوبي مباشر يجعلها عرضة لعواصف مطرية غير اعتيادية في بعض المواسم، إنّ هذا التدرج المكاني للمحطات، الممتد من المرتفعات الشمالية الرطبة مروراً بالسهل الرسوبي الأوسط والهضبة الغربية شبه الجافة وصولاً إلى السواحل الجنوبية، يعكس التنوع الطوبوغرافي-المناخي للعراق، ويؤكد ما أشار إليه Al-Lami et al. (2021) من أنّ مؤشرات الأمطار القصوي تُظهر تبايناً واضحاً بين الشمال الغزير المطر والجنوب والغرب الأكثر جفافاً، مما يستدعى إجراء تحليل مكانى وزمانى دقيق لفهم ديناميكية الأمطار الشديدة في البلاد.

### بحلسة آداب كركسوك، الجلد الأول ، العدد الثالث، أيلول ٢٠٢٥

#### مشكلة البحث:

ما طبيعة التباين المكاني الزماني لتوزيع الشدات المطرية في العراق خلال المدة ٢٠٠٧-٢٠١٨، وكيف يسهم تأثير العوامل الطبوغرافية والمناخية وتباين المنظومات الضغطية في تفسير هذا التباين، وما انعكاساته على إدارة الموارد المائية والوقاية من مخاطر الفيضانات؟

#### فرضية البحث:

يفترض البحث أنّ تكرار الشدات المطرية في العراق ليس عشوائيًا، بل يخضع لتوزيع مكاني وزماني مرتبط بالخصائص الطبوغرافية (كالجبال والهضاب والسهل الرسوبي) وبالمنظومات الجوية (الأخاديد العلوية، المنخفضات السطحية، التغذية الرطبة من البحر المتوسط والخليج العربي)، وعليه، فإنّ تحليل البيانات المطرية ساعياً، وشهرياً وسنوياً، سيوضح أنماطاً مكانية يمكن التنبؤ بها وتفسيرها علمياً.

### أهمية البحث: تكمن أهمية البحث في:

يقدّم البحث قاعدة معرفية دقيقة عن تباين الشدات المطرية في العراق، بما يسهم في فهم ديناميكية الأمطار القصوى، ويعزز التخطيط المائي وإدارة مخاطر السيول والفيضانات، كما يدعم الدراسات المناخية المستقبلية بأدوات مكانية—كمية تزيد من دقة النماذج التنبؤية، مبرزًا أثر التباين الطبوغرافي في أنماط الهطول وعلاقته بالبيئة الطبيعية والبشرية.

#### أهداف البحث:

يهدف البحث إلى تصنيف الأمطار وفق معيار WMO ، وتحليل التباين المكاني التراني لتكرار الشدات المطرية في المحطات الرئيسة، مع إبراز أثر الطبوغرافيا على توزيعها، وإنشاء نماذج مكانية توضح أنماطها، وتفسر حالات مختارة من الأمطار الغزيرة بالربط مع المنظومات الضغطية، إضافة إلى بناء قاعدة بيانات مكانية لدعم التنبؤ المستقبلي.

### المنهج العلمي المستخدم والوسائل والأدوات:

يعتمد البحث على المنهج التحليلي-الوصفي المكاني المدعوم بالأساليب الإحصائية والخرائطية، وذلك من خلال استخدام المصادر للبيانات في البحث كما يأتي:

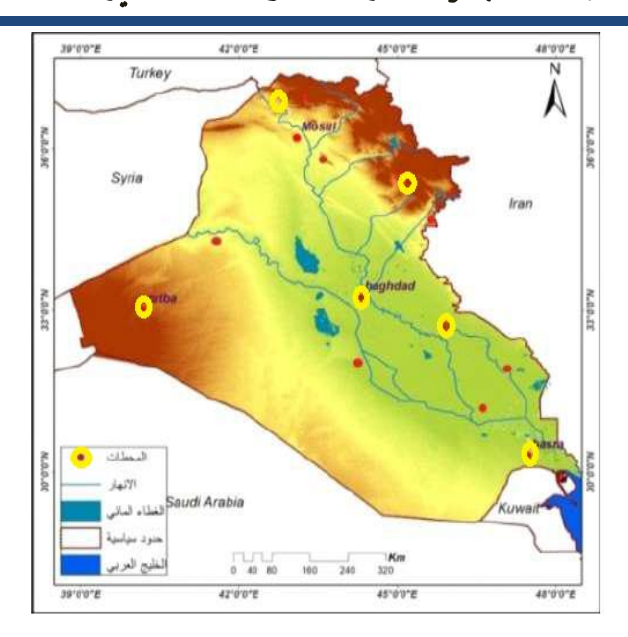
المصدر / جهة التحميل	المدة الزمنية	التفاصيل	نوع البيانات
CHRS – Center for Hydrometeorology and Remote Sensing, University of California, Irvine (PERSIANN-CDR, PERSIANN-CCS) https://chrsdata.eng.uci.edu	2007–2018	كميات الهطول (ملم) لمحطات: دهوك، السليمانية، الرطبة، بغداد، الحي، البصرة	بيانات الأمطار الساعية واليومية والشهرية والسنوية
Plymouth State University – Vortex Weather Maps (USA) <a href="https://vortex.plymouth.edu">https://vortex.plymouth.edu</a>	الحالات المطرية المختارة بين ٢٠٠٧ –٢٠١٨		الخرانط الطقسية ٥٥٠ ، ٥٥٠، ١٠٠٠ هكتوباسكال
SRTM – Shuttle Radar Topography Mission, USGS Earth Explorer <a href="https://earthexplorer.usgs.gov/">https://earthexplorer.usgs.gov/</a> / <a href="https://srtm.csi.cgiar.org">https://srtm.csi.cgiar.org</a>	آخر إصدار متاح SRTM 2000) مع تحديثات لاحقة حتى ٢٠١٥(	الرقمية (DEM) بدقة ٣٠ م – بيانات	البيانات الطبو غرافية

#### موقع منطقة الدراسة:

تقع منطقة الدراسة ضمن الحدود السياسية لجمهورية العراق، التي تمتد بين دائرتي عرض (٢٢ ٢٣ - ٥ ٣٨ ٣٨ شرقاً)، بمساحة تقدر بنحو (٢٢ ٢٣ ٢٣ كم ٢)، يتميز العراق بتنوعه الطوبوغرافي والمناخي؛ إذ تتوزع تضاريسه بين الجبال الشمالية (إقليم كردستان)، والهضبة الغربية (بادية الأنبار)، والسهل الرسوبي الوسط والجنوب، فضلاً عن السواحل الجنوبية الضيقة على الخليج العربي، الشكل (١) والجدول(١)، وقد تم اختيار ست محطات مناخية رئيسة موزعة مكانياً على أقاليم العراق المختلفة، لتُمثل التباين الطوبوغرافي والمناخي، وهي: دهوك، السليمانية ، الرطبة ، بغداد، الحي ، والبصرة، هذا التوزيع يتيح فهماً شاملاً للتباين المكاني الشرق الشدات المطرية، من الشمال الرطب إلى الجنوب شبه الجاف، ومن الغرب الصحراوي إلى الشرق الجبلي.

### الشكل (١) موقع المحطات المناخية المدروسة من العراق

# عِلْسة آداب كركسوك، الجلد الأول ، العدد الثاث، أيلول ٢٠٢٥



المصدر: اعتمادا على: ١ - وزارة النقل، الهيئة العامة للأنواء الجوية والرصد الزلزالي، بيانات المحطات المناخية، ٢٠٢٣. ٢ - وزارة التخطيط، الجهاز المركزي للإحصاء، الحدود الإدارية للمحافظات العراقية، بغداد، (٢٠٢٣).

الجدول (١) المحطات المناخية المختارة في منطقة الدراسة

الرمز العالمي(WMO)	الارتفاع (م) عن سطح البحر	خط الطول(E°)	خط العرض(N°)	اسم المحطة
٦٤٨	565م	42.98	36.85	دهوك
707	853م	45.43	35.56	السليمانية
650	32م	44.38	33.33	بغداد
658	20م	46.05	32.17	الحي
643	620م	40.28	33.03	الرطبة
632	5م	47.78	30.55	البصرة

المصدر: جمهورية العراق ، وزارة النقل ، الهيئة العامة للأنواء الجوية والرصد الزلزالي في العراق(IMOS) ،

# ثانيا: التباين الزماني والمكاني للشدات المطرية .

### مفهوم الشدة المطرية:

تُعرَّف الشدة المطرية (Rainfall Intensity) بحسب المنظمة العالمية للإرصاد الجوية (WMO) بأنّها كمية الهطول المطري الساقطة خلال مدّة زمنية محددة، غالبًا تُقاس بالملليمتر في الساعة (mm/h)، وهي مؤشر رئيس في تصنيف الأمطار وتقدير شدتها، وقد ظهر هذا المعيار منذ النصف الأول من القرن العشرين مع تطور مقاييس المطر الساعية، وتم اعتماده بشكل رسمي في الأدلة التقنية للأرصاد الجوية الصادرة عن WMO في سبعينيات القرن الماضي، ليكون مرجعًا موحدًا على المستوى العالمي القرير (WMO, 2012)، وبُستخدم هذا التصنيف في الدراسات المناخية والهيدرولوجية والهندسية لتقدير

الأخطار المرتبطة بالأمطار، مثل الفيضانات السريعة والسيول والتعرية، اعتمدت WMO تصنيفًا معيارياً يحدد الشدة المطرية على النحو الآتي الجدول(٢):

الجدول (٢) تصنيف الشدة المطربة وفق WMO

الوصف	المعدل (ملم/ساعة)	نوع الشدة المطرية
مطر رذاذي أو ضعيف التأثير	أقل من ٥,٢	خفیفة(Light)
مطر متواصل متوسط الشدة	2.5 – 10	متوسطة(Moderate)
مطر غزير، قد يسبب جرياناً سطحياً	10 – 50	شديدة(Heavy)
عواصف مطرية عنيفة قد تؤدي إلى فيضانات فورية	أكثر من ٥٠	غزيرة جداً / عنيفة Violent/Very) Heavy)

World Meteorological Organization (WMO). (2012). *Guide to Meteorological Instruments and Methods of Observation (WMO-No. 8, 2012 Edition, Updated 2014).* Geneva: WMO. Retrieved from <a href="https://library.wmo.int/doc\_num.php?explnum\_id=4147">https://library.wmo.int/doc\_num.php?explnum\_id=4147</a>

# ١- تكرار أنواع الشدات لمحطات منطقة الدراسة:

تم تحليل بيانات الشدات المطرية حسب التصنيف العالمي (WMO) لكل محطة، بعد استثناء أشهر الصيف (٦، ٧، ٨)، النتائج تبين الفروقات المكانية لتكرار الشدات (خفيفة، متوسطة، شديدة، غزيرة):

الجدول(٣) تصنيف الشدة المطرية للمحطات المختارة في العراق 2018-2007

غزيرة	شديدة	متوسطة	خفيفة	المحطة
1	86	605	77743	دهوك
2	71	554	77834	السليمانية
0	52	349	78037	الرطبة
3	56	363	78015	بغداد
0	33	282	78124	الحي
1	53	308	78076	البصرة

المصدر: بالاعتماد على بيانات، https://chrsdata.eng.uci.edu

تشير نتائج الجدول (٣) لتحليل الشدات المطرية في العراق (٢٠٠١-٢٠١٨) إلى تباين واضح بين المحطات الست المدروسة تبعًا للموقع الجغرافي والخصائص الطبوغرافية، ففي محطة دهوك، لوحظ تسجيل أعلى تكرار للأمطار المتوسطة بلغ (٢٠٠ تكرارا) والشديدة (٨٦ تكرارا) مقارنة ببقية المحطات، بينما بلغت الحالات الخفيفة ( ٢٧٧,٧٤٣) تكرارا ، وهو ما يعكس سيطرة النمط المعتدل على مناخ المنطقة الشمالية بفعل التأثيرات الجبلية والرطوبة الواردة من شرق المتوسط، أما الشدات الغزيرة جداً فقد كانت نادرة (حالة واحدة فقط)، وهو ما يتوافق مع الطبيعة شبه الرطبة التي تُظهر هيمنة الشدات المتوسطة نادرة (حالة واحدة فقط)، وهو ما يتوافق مع الطبيعة شبه الرطبة التي تُظهر هيمنة الشدات المتوسطة المدوك في محطة

### بحلية آداب كركيوك، الجلد الأول ، العدد الثالث، أملول ٢٠٢٥

السليمانية ، إذ بلغت الأمطار المتوسطة ٥٥٤ تكرارا ، والشديدة ٧١ تكرارا ، والغزيرة (حالتين فقط)، ما يعكس أثر التضاريس الجبلية والأنظمة الرطبة القادمة من شرق المتوسط وتركيا، وتشير هذه النتائج إلى تزايد فرص الأمطار المعتدلة—الشديدة في شمال العراق، وهو ما أكده Abbas & Abdulrahman (2019) حول تزايد الشدات المطرية في شمال شرق العراق بفعل التغيرات المناخية.

أما محطة الرطبة الواقعة في الهضبة الغربية، فقد سُجل فيها ٧٨,٠٣٧ حالة خفيفة، و ٣٤٩ متوسطة، و٢٥ شديدة، دون تسجيل أي حالة غزيرة، ما يعكس طبيعتها الصحراوية وتأثير الرياح الجافة وقلة الاضطرابات الجوية، وهو ما يتفق مع ما أورده (2014) Al-Khudhairy & Al-Khateeb عرب العراق، في حين كانت محطة بغداد و التي تمثل مناخًا انتقاليًا بين الجاف وشبه الجاف، قد سُجلت ٧٨,٠١٥ حالة خفيفة، و ٣٦٣ متوسطة، و ٥٦ شديدة، فضلا عن ( ٣ حالات ) غزيرة، يشير ذلك إلى أنّ معظم الهطول يتسم بكونه خفيف الشدة، بينما تعكس الحالات الغزيرة النادرة وجود اضطرابات جوية استثنائية، وهو ما أكدته دراسات (2015) Al-Timimi, Al-Jiboori, & Al-Ali بشأن محدودية الشدات القصوى في وسط العراق.

بينما كانت محطة الحي الواقعة جنوب شرق العراق، سجلت ٧٨,١٢٤ حالة خفيفة، و ٢٨٦ متوسطة، و٣٣ شديدة، دون تسجيل أي أمطار غزيرة، يعكس هذا النمط مناخ السهل الرسوبي المفتوح الذي يتأثر بالتبخر العالي وانخفاض تشكل السحب الركامية، وأخيرًا في محطة البصرة، أقصى جنوب العراق، تم تسجيل ٧٨,٠٧٦ حالة خفيفة، و ٣٠٨ متوسطة، و ٥٣ شديدة، و (حالة واحدة ) غزيرة فقط، ما يؤكد الطبيعة الصحراوية للمنطقة وندرة الفعاليات المطرية الشديدة جدا، وهي نتائج تتفق مع وصف Salman للمنطقة وندرة الفعاليات المطرية الشديدة جدا، وهي محدود.

### ٢ - التكرار الساعي لأنواع الشدات المطرية:

يتضح من الجدول (٤) بصورة عامة أنّ الأمطار الخفيفة لها سيطرة شبه متجانسة على مدار ٢٤ ساعة في جميع المحطات، مع غلبة طفيفة في ساعات الليل المتأخرة والفجر (من ٢٠-١٦)، مما يعكس استقرار الغلاف الجوي الليلي وارتفاع الرطوبة النسبية، أمّا الأمطار المتوسطة فتميل للتزايد في ساعات الصباح (بين ٨-١١) GMT(١١-٨) وفي فترة ما بعد الظهر (٢١-١٧)، بخاصة في محطات (دهوك والسليمانية) بفعل النشاط الحملاني المدفوع بالتسخين الشمسي (Abbas & Abdulrahman, 2019).

أمّا الأمطار الشديدة، فإنّها تُسجّل غالبًا خلال الفترة المسائية (٢١-٢٢) GMT في محطات مثل الرطبة وبغداد، ممّا يشير إلى ارتباطها بمرور اضطرابات جوية أو جبهات باردة تتزامن مع ساعات انخفاض الحرارة السطحية، في حين أنّ الأمطار الغزيرة جدًا/العنيفة نادرة جدًا، وتظهر بصورة معزولة في أوقات مختلفة من الليل أو الفجر، مثل حالة واحدة عند الساعة ٢ GMT في بغداد أو عند الساعة ١ GMT، في السليمانية، ما يؤكد ارتباطها بحالات جوية استثنائية ونادرة.

هذا النمط يبرز دور التضاريس في شمال العراق (دهوك، السليمانية) حيث تزداد شدات النهار، مقابل هيمنة الاضطرابات المسائية في وسط وغرب العراق (بغداد، الرطبة)، في حين تبقى المحطات الجنوبية (البصرة والحي) مقيدة بأمطار خفيفة ذات توزيع شبه ثابت.

الجدول (٤) التكرار الساعي GMT لأنواع الشدة المطرية

	طبة	الر			يماتية	السلا			نوك	97		المحطات
غزيرة جدًا/عنيفة	شديدة	متوسطة	خفيفة	غزيرة جدًا/عنيفة	شديدة	متوسطة	خفيفة	غزيرة جدًا/عنيفة	شديدة	متوسطة	خفيفة	hour
0	2	19	3257	0	1	21	3257	0	2	25	3250	0
0	4	13	3261	0	4	22	3253	1	5	17	3256	1
0	3	6	3269	0	1	26	3252	0	2	26	3250	2
0	1	15	3262	0	4	16	3259	0	1	27	3250	3
0	4	11	3263	0	3	22	3254	0	4	27	3247	4
0	3	13	3262	0	3	21	3255	0	3	25	3250	5
0	0	16	3262	0	3	22	3254	0	3	18	3257	6
0	2	15	3261	0	0	24	3255	0	3	16	3259	7
0	0	13	3265	0	1	18	3260	0	2	17	3259	8
0	3	13	3262	0	1	29	3249	0	5	21	3252	9
0	0	16	3261	1	1	28	3248	0	4	34	3239	10
0	0	20	3258	0	3	26	3250	0	5	32	3241	11
0	2	16	3259	0	1	26	3251	0	4	24	3249	12
0	0	19	3259	0	1	24	3254	0	3	27	3248	13
0	2	19	3257	0	8	24	3247	0	4	23	3251	14
0	1	11	3265	0	3	25	3250	0	2	38	3237	15
0	0	13	3264	0	3	16	3259	0	3	21	3253	16
0	1	12	3264	0	3	24	3251	0	3	39	3235	17
0	3	17	3257	0	5	22	3251	0	1	29	3247	18
0	3	21	3253	1	1	26	3250	0	2	28	3247	19
0	1	18	3258	0	2	34	3242	0	4	29	3244	20
0	4	15	3258	0	3	26	3249	0	4	32	3241	21
0	2	12	3264	0	2	25	3252	0	4	24	3250	22
0	3	14	3262	0	2	19	3258	0	3	16	3260	23
	صرة	البد			ھي	1)			نداد	بغ		المحطات
غزيرة جدًا/عنيفة	شديدة	متوسطة	خفيفة	غزيرة جدًا/عنيفة	شديدة	متوسطة	خفيفة	غزيرة جدًا/عنيفة	شديدة	متوسطة	خفيفة	hour
0	1	15	3262	0	3	15	3260	0	2	13	3264	0
0	3	15	3260	0	0	18	3260	0	1	15	3262	1
0	3	9	3266	0	2	10	3266	0	3	14	3261	2
0	1	14	3263	0	1	10	3267	0	1	13	3264	3

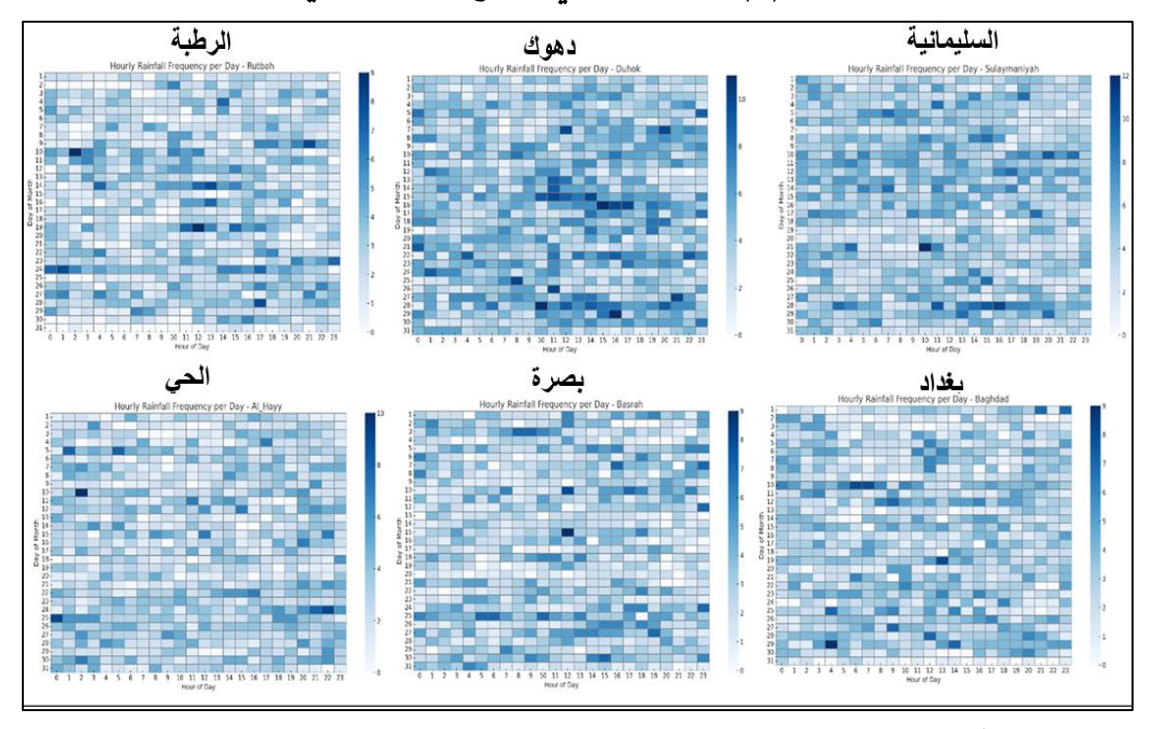
بحلسة آداب كركسوك، الجلد الأول ، العدد الثالث، أيلول ٢٠٢٥

0	1	13	3264	0	1	11	3266	0	4	19	3255	4
0	3	17	3258	0	1	16	3261	0	0	14	3264	5
0	4	13	3261	0	1	11	3266	0	3	11	3264	6
1	1	10	3266	0	0	7	3271	1	1	11	3265	7
0	2	8	3268	0	0	7	3271	0	5	11	3262	8
0	0	13	3265	0	0	8	3270	0	0	16	3262	9
0	0	15	3262	0	0	6	3271	0	1	12	3264	10
0	3	13	3262	0	0	7	3271	0	2	14	3262	11
0	0	18	3259	0	2	11	3264	0	1	19	3257	12
0	4	9	3265	0	1	8	3269	0	4	24	3250	13
0	3	13	3262	0	2	16	3260	0	0	21	3257	14
0	1	17	3259	0	1	8	3268	1	1	24	3251	15
0	2	17	3258	0	0	10	3267	0	1	17	3259	16
0	1	14	3262	0	4	10	3263	1	1	17	3258	17
0	3	10	3264	0	1	15	3261	0	4	15	3258	18
0	2	10	3265	0	1	16	3260	0	3	17	3257	19
0	0	17	3260	0	1	20	3256	0	3	15	3259	20
0	5	13	3259	0	0	21	3256	0	1	14	3262	21
0	1	11	3266	0	0	12	3266	0	2	12	3264	22
0	3	10	3266	0	3	17	3259	0	3	14	3261	23

المصدر: بالاعتماد على بيانات، https://chrsdata.eng.uci.edu

يظهر الشكل (٢) أنّ النمط الزماني لتكرار الشدات المطرية في العراق يتوزع بين الليل والفجر للأمطار الخفيفة، والصباح والظهيرة للأمطار المتوسطة، والمساء للأمطار الشديدة، بينما تبقى الأمطار العنيفة شديدة الندرة ومرتبطة بظروف جوية غير اعتيادية.

الشكل (٢) التكرار الساعي لأنواع الشدة المطرية



المصدر: بالاعتماد على بيانات، https://chrsdata.eng.uci.edu

٣ – التكرار الشهري لأنواع الشدات المطرية:

تبين من الجدول (٥) أنّ الأمطار الخفيفة هي النمط المسيطر على مدار الموسم المطري (أيلول— آيار) في جميع المحطات، مع تسجيل أعلى القيم خلال شهري كانون الأول وكانون الثاني، ما يعكس سيطرة المنخفضات المتوسطية الباردة، أمّا الأمطار المتوسطة فتظهر قممها في شهري آذار ونيسان خاصة في المناطق الجبلية (دهوك والسليمانية)، وهو ما يتوافق مع نشاط الاضطرابات الربيعية وعدم الاستقرار الحراري في تلك الفترة.

في حين إنّ الأمطار الشديدة تتركز في شهري كانون الأول وشباط في الوسط والجنوب (بغداد، الحي، البصرة)، بينما تزداد في شهري آذار ونيسان في الشمال (دهوك، السليمانية) بفعل التضاريس، بينما كانت الأمطار الشديدة جدًا نادرة جدًا، وسُجلت بشكل متفرّق خلال الخريف (أيلول وتشرين الأول) أو بداية الشتاء (كانون الثاني)، وغالبًا ما تكون مرتبطة بمرور منخفضات عميقة أو جبهات قوبة.

هذا النمط يعكس انطباعا عن أنّ العراق يخضع لذروة النشاط المطري في الشتاء، مع انتقال تدريجي نحو الأمطار الرعدية التضاريسية الأكثر شدة في الربيع، خاصة في المناطق الشمالية الجبلية، في حين تبقى الأمطار الجنوبية أكثر انتظامًا وضعفًا في شدتها.(Al-Lami et al., 2021)

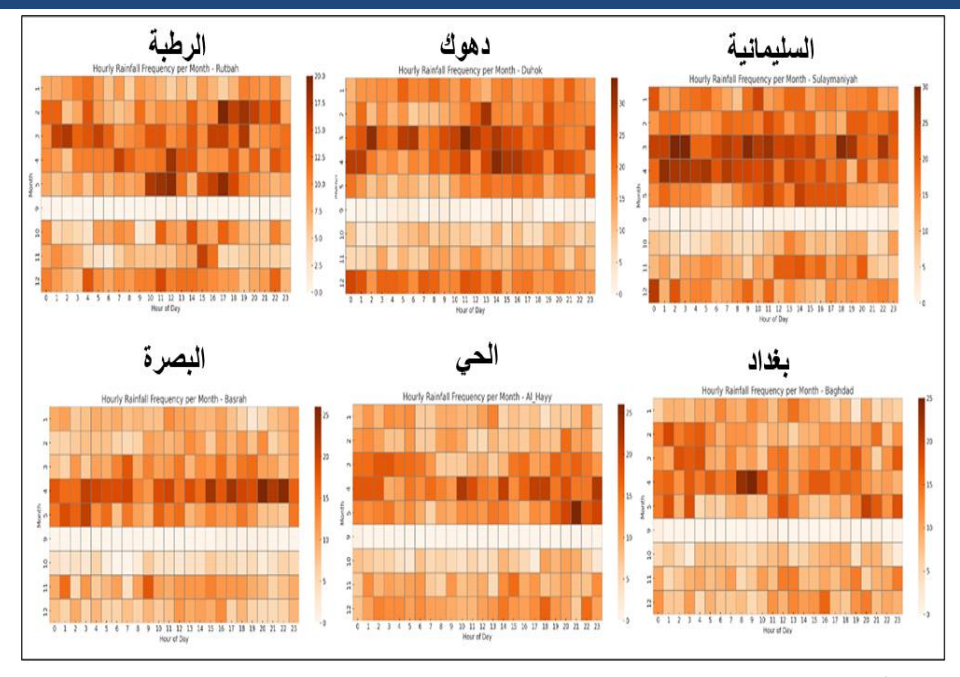
الجدول (٥) التكرار الشهري لأنواع الشدة المطرية

	طبة	الر			بمانية	السل			وك	97		
غزيرة جدًا/عنيفة	شديدة	متوسطة	خفيفة	غزيرة جدًا/عنيفة	شديدة	متوسطة	خفيفة	غزيرة جدًا/عنيفة	شديدة	متوسطة	خفيفة	mounth
0	0	0	8640	0	0	9	8631	0	2	11	8627	9
0	6	43	8879	0	0	31	8897	0	5	48	8875	10
0	8	32	8600	1	4	49	8586	0	10	57	8573	11
0	7	38	8877	0	9	59	8854	0	7	68	8847	12
0	1	31	8872	0	10	62	8855	1	11	65	8827	1
0	10	43	8082	0	6	67	8062	0	10	72	8053	2
0	2	60	8866	1	16	92	8819	0	5	102	8821	3
0	4	60	8575	0	5	109	8525	0	19	105	8515	4
0	6	50	8872	0	9	88	8831	0	7	87	8834	5
	صرة	البد		الحي				بغداد				
غزيرة جدًا/عنيفة	شديدة	متوسطة	خفيفة	غزيرة جدًا/عنيفة	شديدة	متوسطة	خفيفة	غزيرة جدًا/عنيفة	شديدة	متوسطة	خفيفة	mounth
0	5	32	8867	0	2	22	8880	1	4	36	8886	9
0	2	28	8105	0	0	26	8109	2	3	45	8085	10
0	4	41	8883	0	4	34	8890	0	4	48	8876	11
0	10	80	8549	0	8	67	8564	0	16	72	8551	12
1	11	45	8871	0	5	55	8868	0	11	72	8845	1
0	0	4	8636	0	0	0	8640	0	1	0	8639	2
0	3	18	8907	0	3	28	8897	0	2	30	8896	3
0	4	34	8602	0	2	30	8608	0	1	40	8599	4
0	8	32	8882	0	1	28	8893	0	5	29	8865	5

المصدر: بالاعتماد على بيانات، https://chrsdata.eng.uci.edu

الشكل (٣) التكرار الشهري لأنواع الشدة المطرية

### بحلسة آداب كركسوك، الجلد الأول ، العدد الثالث، أيلول ٢٠٢٥



المصدر: بالاعتماد على بيانات، https://chrsdata.eng.uci.edu

من الشكل (٣) يستنتج أنّ فصل الخريف (أيلول-تشرين الثاني) هو بداية الموسم، أمطار خفيفة واسعة، مع بعض الحالات المتوسطة في الوسط والجنوب، أمّا الشتاء (كانون الأول-شباط) فإنّ ذروة النشاط المطري يتركز خلاله، وتكرار أعلى للأمطار الشديدة في الوسط والجنوب.

وتزايد الشدات المتوسطة والشديدة خلال فصل الربيع (آذار –آيار) في الشمال بفعل الاضطرابات الحرارية والتضاريس، وتتسم الأمطار الغزيرة جدًا بأنّها حالات نادرة وغير منتظمة، غالبًا وترتبط بعواصف جوية استثنائية.

### ٤ - التكرار السنوي لأنواع الشدات المطرية:

تشير البيانات في الجدول (٦) إلى أنّ الأمطار الخفيفة هي السمة المسيطرة في جميع السنوات والمحطات، إذ يتجاوز تكرارها ستة آلاف حالة سنويًا، ما يعكس الطبيعة العامة للمناخ العراقي شبه الجاف، إلّا أنّ هناك تذبذبًا ملحوظًا في بعض السنوات مثل (٢٠٠٧، ٢٠٠٩، ٢٠١٨) التي سجلت أعلى تراكمات نسبية، خاصة في الشمال (دهوك، السليمانية).

الجدول (٦) التكرار السنوي لأنواع الشدة المطربة

	طبة	الرا		السليمانية				دهوك				
غزيرة جدًا/عنيفة	شديدة	متوسطة	خفيفة	غزيرة جدًا/عنيفة	شديدة	متوسطة	خفيفة	غزيرة جدًا/عنيفة	شديدة	متوسطة	خفيفة	year
0	6	27	6496	0	3	33	6516	1	5	52	6471	2007
0	3	20	6553	0	4	31	6541	0	5	35	6536	2008
0	4	22	6526	0	3	57	6492	0	5	45	6502	2009
0	0	27	6525	0	9	50	6493	0	7	74	6471	2010

أ.م.د. بلسم شاكر شنيشل التحليل المكانى لتكرار الشدات المطرية في العراق

0	1	18	6533	0	1	26	6525	0	10	46	6496	2011
0	2	35	6539	0	4	41	6531	0	5	45	6526	2012
0	2	33	6517	0	5	55	6492	0	4	53	6495	2013
0	3	24	6525	1	7	31	6513	0	5	59	6488	2014
0	8	20	6518	0	5	62	6479	0	8	45	6493	2015
0	2	27	6545	0	0	46	6528	0	5	40	6529	2016
0	3	38	6511	1	11	60	6480	0	7	47	6498	2017
0	10	66	6475	0	7	74	6470	0	10	74	6467	2018
	سرة	البو			<i>ي</i> ي	71			داد	بغ		
غزيرة جدًا/عنيفة	شديدة	متوسطة	خفيفة	غزيرة جدًا/عنيفة	شديدة	متوسطة	خفيفة	غزيرة جدًا/عنيفة	شديدة	متوسطة	خفيفة	year
0	6	33	6490	0	3	36	6490	0	1	31	6520	2007
0	4	16	6556	0	2	12	6562	0	5	18	6553	2008
0	4	19	6529	0	1	22	6529	0	4	48	6500	2009
0	2	19	6531	0	2	18	6532	0	3	22	6527	2010
0	5	25	6522	0	0	19	6533	0	1	18	6533	2011
0	5	20	6551	0	0	20	6556	0	2	31	6543	2012
0	4	21	6527	0	3	20	6529	0	2	36	6514	2013
0	3	16	6533	0	3	26	6523	0	3	24	6525	2014
0	5	30	6511	0	1	26	6519	0	4	24	6518	2015
0	1	29	6544	0	2	28	6544	0	5	23	6546	2016
0	5	29	6518	0	1	24	6527	0	11	31	6510	2017
1	3	57	6490	0	7	39	6505	3	6	66	6453	2018

المصدر: بالاعتماد على بيانات، https://chrsdata.eng.uci.edu

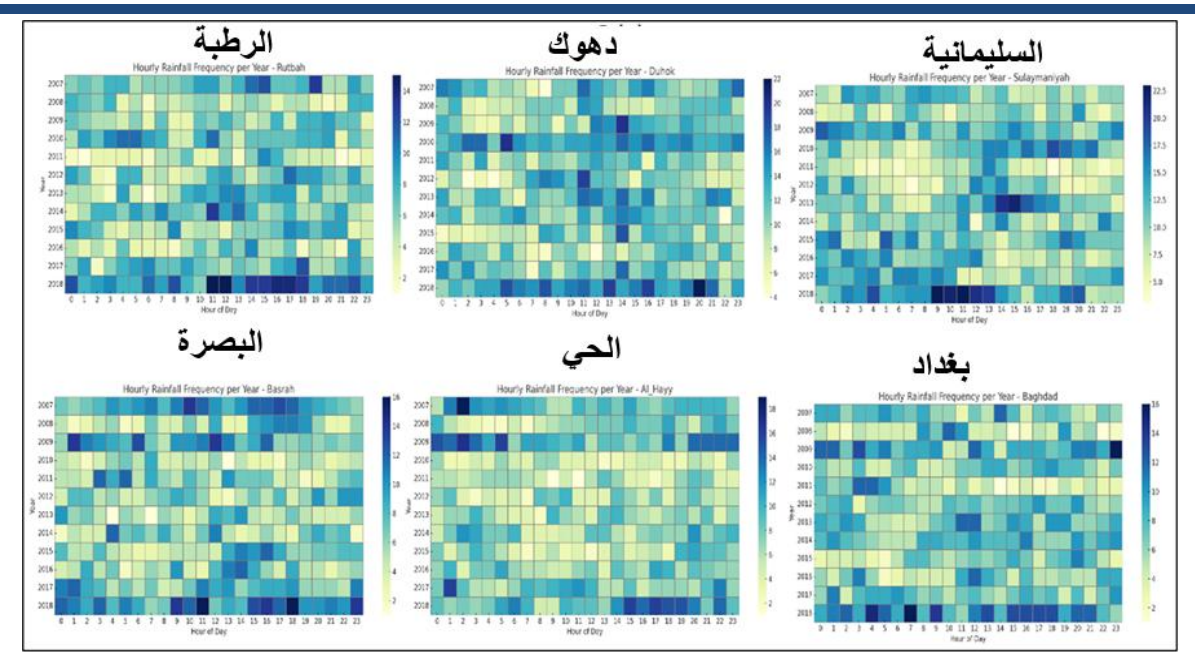
أمّا الأمطار المتوسطة فتبين وجود قمم واضحة في أعوام (٢٠١٠، ٢٠١٣، ٢٠١٨) خصوصًا في دهوك والسليمانية، ممّا يعكس دور المنخفضات المتوسطية العميقة التي تنشط في هذه المواسم، وبالنسبة إلى الأمطار الشديدة، فإنّ تكرارها منخفضًا (أقل من ١٥ حالة سنويًا في أغلب المحطات)، مع بروز أعوام استثنائية مثل ٢٠١١ و ٢٠١٧ و ٢٠١٨ التي شهدت نشاطًا أكبر في الرطبة وبغداد.

فيما يخص الأمطار الغزيرة جدًا/العنيفة فهي نادرة جدًا ومحصورة في سنوات قليلة (٢٠٠٧، ٢٠١٤، وغلبًا ما ظهرت في محطات محددة مثل بغداد، السليمانية، والبصرة، وهو ما يعكس ارتباطها بظروف جوية غير اعتيادية مثل مرور منخفضات عميقة أو اضطرابات محلية قوية.

والشكل (٤) يشير إلى أنّه يمكن القول إنّ النمط الزماني يعكس غلبة الأمطار الخفيفة والمعتدلة طوال السنوات، مع تكرار محدود للشديدة وظهور استثنائي للغزيرة جدًا، ممّا يوضح هشاشة السجل المناخي العراقي أمام الحالات المتطرفة ونُدرتها، وهو ما أشار إليه (2021) Al-Lami et al. في تحليله للشدات المطربة القصوى.

### الشكل (٤) التكرار الشهري لأنواع الشدة المطرية

### عِلْسَة آدَاب كركسوك، الجلد الأول ، العدد الثالث، أبلول ٢٠٢٥



المصدر: بالاعتماد على بيانات، https://chrsdata.eng.uci.edu

# ثالثًا: تحليل النماذج الطقسية:

تم اختيار نماذج مناخية للرصدات التي سجلت أعلى كمية أمطار خلال وقت الرصد لكل محطة مناخية وتحليل الحالة السينوبيتكية المرافقة لها لمستويات (١٠٠٠، ٥٠٠، ٥٠٠) هكتوباسكال وحالة عناصر الطقس المصاحبة لها ، ينظر الملحق (١) والشكل (٥):

# ١. نموذج محطة دهوك (١٥ نيسان/أبريل ٢٠١٦):

سجلت محطة دهوك هطول مطري غزير بلغ ( عنه ملم/ساعة) ، تأثر بامتدادات المنخفض المتوسطي المتمركز فوق القائم المتزامن مع وجود مركز مرتفع سيبيري شمال شرق تركيا في المستوى السطحي ١٠٠٠ هكتوباسكال ، ممّا جعلها منطقة التقاء لكتلتين هوائيتين مختلفتين في الخصائص، كتلة مدارية دافئة رطبة مسحوبة بواسطة المنخفض انسجم اتجاه حركتها مع امتداد السلاسل الجبلية من الجنوب الشرقي نحو الشمال الغربي، ممّا أدى إلى رفع الكتلة الهوائية فوق المرتفعات وانخفاض حرارتها تدريجيًا، فازداد التكاثف ونتجت أمطار غزيرة ، وأخرى قطبية باردة من الشمال الشرقي، وقد نتج عن هذا التصادم تشكّل جبهة هوائية لعبت فيها الكتلة الدافئة الدور الأقوى، وهو ما عزز من فعالية الرفع الجبهى وحدّة الهطول.

أمّا عند مستوى ٨٥٠ هكتوباسكال فقد سيطر منخفض قطبي بارد، في حين هيمن على مستوى ٥٠٠ هكتوباسكال أخدود علوي قطبي عميق، وكلاهما عززا من عملية التكاثف والرفع الرأسي.

وقد انعكس هذا التفاعل الجوي بوضوح في الخصائص المناخية المسجلة بالمحطة؛ إذ بلغ معدل الحرارة اليومي نحو 15.3°C، فيما سُجل ضغط جوي منخفض (890) هكتوباسكال (ورطوبة نسبية مرتفعة نسبيا (٦٢%) ورياح غربية-شمالية غربية بسرعة ٣,٢ م/ث، هذه القيم تعكس بيئة غير مستقرة مثالية لتطور السحب الركامية، وهو ما يتفق مع ما أشارت إليه الدراسات المناخية العراقية والعربية التي أوضحت أنّ التقاء الكتل الهوائية الرطبة الدافئة مع الباردة القطبية، بدعم من الأخاديد العلوية والمنخفضات السطحية، يُعد من أبرز محددات الأمطار الغزيرة في شمال العراق.(الكناني& مطشر . (E3S, 2024)

### ٢. نموذج محطة السليمانية (٢٤ تشرين الثاني/نوفمبر ٢٠١٧):

شهدت محطة السليمانية هطولًا مطريًا غزيرًا بلغ (٢٦ ملم/ساعة)، ارتبط بوضوح بتكامل المنظومات الضغطية في المستويات الثلاثة (١٠٠٠، ٥٠٠، ٥٠٠ هكتوباسكال) مع الظروف المناخية المحلية، فعند مستوى ١٠٠٠ هكتوباسكال تمركز منخفض عميق فوق شمال شرق العراق وغرب إيران، مما عزّز من تقارب الرياح السطحية وزاد من تغذية المنطقة بالرطوبة، وهو ما انسجم مع الضغط المنخفض المسجل في المحطة (٨٩٧ هكتوباسكال). أمّا عند مستوى ٥٠٠ هكتوباسكال فقد خضعت المنطقة لتأثير منخفض قطبي بارد اندفع من شرق المتوسط وتركيا، ترافق مع رياح شمالية غربية رطبة وفرت تغذية مستمرة ببخار الماء لتطور السحب الركامية، وفي المستوى العلوي ٥٠٠ هكتوباسكال ظهر أخدود علوي عميق ممتد من شرق أوروبا وتركيا نحو العراق، معززاً برودة وعدم استقرار ديناميكي ساعدا على وفع الهواء الرطب بكفاءة.

انعكست هذه المنظومات على عناصر الطقس المرصودة في المحطة، إذ بلغ متوسط الحرارة اليومية نحو (٩,٢°م) مع رطوبة نسبية مرتفعة (٧٠%)، وهي بيئة مثالية لتطور العواصف المطرية، إنّ هذا الترتيب العمودي المتكامل—من المنخفض السطحي عند ١٠٠٠ هكتوباسكال، مرورًا بالمنخفض القطبي عند ٥٠٠ هكتوباسكال وصولًا إلى الأخدود العلوي عند ٥٠٠ هكتوباسكال—قد أسهم في نشوء حالة عدم استقرار قوية فوق شمال شرق العراق، نتج عنها هطول مطري غزير جدًا في السليمانية.

### نموذج محطة الرطبة (۲۶ شباط/فبرایر ۲۰۰۷):

شهدت محطة الرطبة هطولًا مطريًا بلغ (٣١ ملم)، وهو مقدار مرتفع نسبيًا قياسًا ببيئة صحراوية شبه جافة كالأنبار، وقد ارتبطت هذه الحالة بتكامل المنظومات الضغطية في المستويات الثلاثة (١٠٠٠، محتوباسكال) مع الخصائص المناخية المحلية، فعند مستوى ١٠٠٠ هكتوباسكال تموضَع

# علسة آداب كركسوك، الجلد الأول ، العدد الثالث، أيلول ٢٠٢٥

منخفض سطحي مندمج للمنخفضين (المتوسطي والسوداني)، ما عزّز من التقارب الأفقي للرياح وأسهم في دفع الهواء الرطب نحو غرب العراق، أمّا عند مستوى ٨٥٠ هكتوباسكال فقد خضعت المنطقة لتأثير امتداد منخفض قطبي بارد ترافق مع تدفق غربي—شمالي غربي محمّل بالرطوبة من شرق المتوسط، انسجم مع الرياح المرصودة في الرطبة (اتجاه غربي بسرعة ٣,٧ م/ث) وأسهم في رفع فعّال للهواء فوق تضاريس الهضبة الغربية، وفي المستوى العلوي ٥٠٠ هكتوباسكال ظهرت أمواج مستقيمة، ما وفر تبريدًا علويًا معتدلًا أسهم في تعزيز الرفع الواسع النطاق وإن كان بدرجة أقل ممّا يحدث عادة في البيئات الجبلية.

انعكست هذه المنظومات على عناصر الطقس المرصودة في المحطة، إذ بلغ متوسط الحرارة اليومية (١١,٣ م) مع رطوبة نسبية متوسطة (٥٩ %)، وهي ظروف مناسبة لتشكل هطولا مطريا عند توافر آليات رفع ديناميكي ، ومن المرجح أنّ الهطول المسجل كان مزيجًا من المطر الجبهي الناتج عن عبور الجبهة الباردة وبعض الخلايا الرعدية المحلية، وتبرز هذه الحالة أهمية التداخل بين المنخفض السطحي المندمج عند ١٠٠٠ هكتوباسكال، والأمواج المستقيمة عند ٥٠٠ هكتوباسكال في توليد هطول غزير فوق مناطق جافة كالأنبار.

## ٤. نموذج محطة بغداد (١١ شباط/فبراير ٢٠١٨):

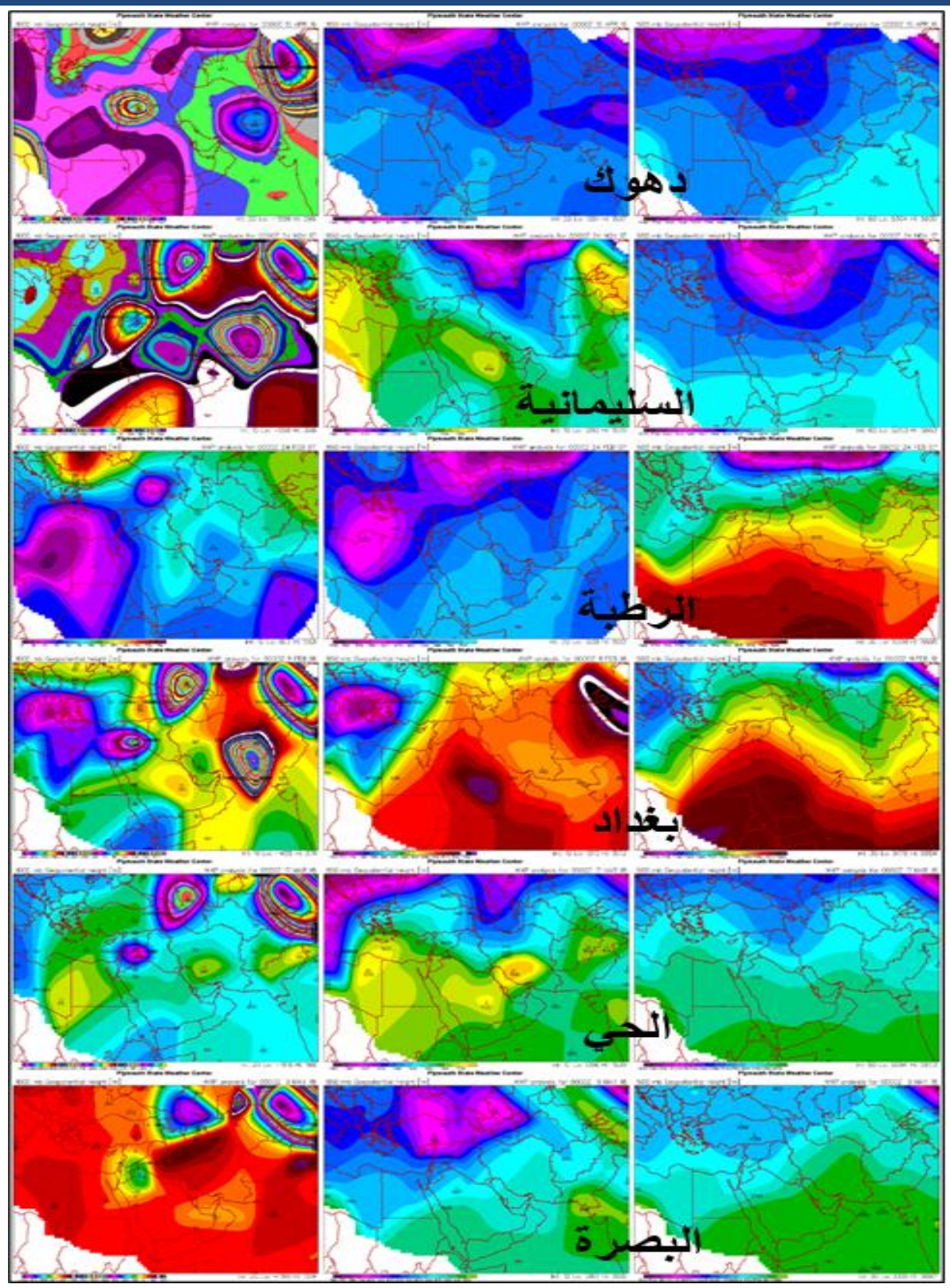
شهدت محطة بغداد هطولًا مطريًا غزيرًا بلغ (٥٦ ملم/ ساعة)، ارتبط بوضوح بتداخل المنظومات الجوية في المستويات الثلاثة، فعند مستوى ١٠٠٠ هكتوباسكال كانت المنطقة تحت تأثير امتدادات سلسلة من عوائل المنخفضات المتوسطية، شملت منخفضًا متمركزًا عند الحدود العراقية—السورية، وآخر فوق البحر المتوسط والجزر اليونانية، إلى جانب منخفض شمال شرق العراق فوق أذربيجان، وهو ما عزز من التقارب السطحي وزاد من فرص تشكل السحب الممطرة، أما عند مستوى ٥٠٠ هكتوباسكال فقد خضعت بغداد لامتداد مرتفع جوي متمركز فوق الجزيرة العربية، ما ولّد تباينًا حراريًا وضغطيًا ساعد على دفع الهواء الرطب نحو الطبقات العليا، وفي المستوى العلوي ٥٠٠ هكتوباسكال ظهرت المنطقة تحت تأثير شرق انبعاج ، وهو ما أتاح تبريدًا علويًا مناسبًا ودعمًا ديناميكيًا لعملية الرفع واسعة النطاق.

انعكست هذه المنظومات على عناصر الطقس المرصودة في المحطة، إذ بلغ متوسط الحرارة اليومية نحو (١٠٠٨ مم رطوبة نسبية متوسطة (٧٤%)، فيما سُجِّل ضغط جوي منخفض (١٠٠٨ هكتوباسكال)

متوافق مع تأثير المنخفضات السطحية، هذه البنية الرأسية – من امتدادات المنخفضات المتوسطية عند ١٠٠٠ هكتوباسكال، وصولًا إلى انبعاج المرتفع العزيرة العربية عند ٨٥٠ هكتوباسكال، وصولًا إلى انبعاج المرتفع العلوي عند ٥٠٠ هكتوباسكال – قد هيأت ظروفًا مثالية لعدم الاستقرار فوق وسط العراق، وأسفرت عن حالة مطرية غزيرة جدًا في بغداد.

الشكل (٥) يوضح الخرائط الطقسية للنماذج المختارة

# مجلسة آداب كركسوك، الجلد الأول ، العدد الثالث، أيلول ٢٠٢٥



المصدر: الاعتماد على https://vortex.plymouth.edu

# ه. نموذج محطة الحي (۱۷ آذار /مارس ۲۰۱۸):

شهدت محطة الحي هطولًا مطريًا غزيرًا بلغ (60 ملم/ساعة)، بفعل تفاعل ديناميكي وحراري بين مستويات الغلاف الجوي الثلاثة، فعند مستوى ١٠٠٠ هكتوباسكال كانت المنطقة واقعة تحت تأثير مركز مرتفع سيبيري متمركز جنوب غرب ايران ، الذي أسهم في سحب الهواء البارد الرطب مروراً بالخليج العربي نحو العراق وأوجد تدرجًا ضغطيًا ملائمًا للتقارب السطحي، أمّا عند مستوى ٨٥٠ هكتوباسكال فقد خضعت المنطقة لتأثير منخفض قطبي امتدت مراكز تأثيره نحو العراق، ممّا ولّد تدفقات رطبة غربية جنوبية غربية زادت من فرص تشكّل السحب الركامية، وفي المستوى العلوي ٥٠٠ هكتوباسكال ظهر أخدود علوي بارد ممتد من شرق المتوسط، وفر تبريدًا وعدم استقرار ديناميكي هيأ الظروف المثالية لرفع الهواء الرطب بكفاءة.

انعكست هذه المنظومات على عناصر الطقس المرصودة في المحطة، إذ بلغ متوسط الحرارة اليومية (١٩,٦°م) مع رطوبة نسبية متوسطة (٧٥%)، وهي بيئة ملائمة لتطور العواصف المطرية، إنّ التداخل بين المرتفع السيبيري عند ١٠٠٠ هكتوباسكال، والمنخفض القطبي عند ١٠٠٠ هكتوباسكال، والأخدود العلوي البارد عند ٥٠٠ هكتوباسكال، قد وفّر بيئة مثالية لعدم الاستقرار فوق وسط العراق، وأسفر عن هطول مطري غزير في محطة الحي، متوافقًا مع ما أشارت إليه الدراسات المناخية حول دور تلاقي المنخفضات القطبية والأخاديد العلوبة مع التأثيرات السطحية في توليد الأمطار الغزيرة.

### ٦. نموذج محطة البصرة (٩ أيار/مايو ٢٠١٨):

شهدت محطة البصرة هطولًا مطريًا غزيرًا بلغ ( 10 ملم/ ساعة)، ارتبط بوضوح بتداخل المنظومات الجوية في المستويات الثلاثة، فعند مستوى ١٠٠٠ هكتوباسكال كانت المنطقة تحت تأثير المرتفع السيبيري مع ظهور مركز ثانوي له فوق وسط إيران، ممّا عزّز من التدرج الضغطي في السهل الرسوبي الجنوبي وأوجد بيئة مواتية للتقارب السطحي، أمّا عند مستوى ٨٥٠ هكتوباسكال فقد تأثرت المنطقة بامتدادات المنخفض القطبي المتمركز غرب تركيا، ما ولّد تدفقًا غربيًا –شماليًا غربيًا رطبًا ساعد على تغذية الغلاف الجوي ببخار الماء، وهو ما انسجم مع الرياح المرصودة شمالية غربية (شمالية غربية بسرعة ٤٠١ م/ث). وفي المستوى العلوي ٥٠٠ هكتوباسكال برزت تأثيرات امتدادات غرب انبعاج التيار الهوائي المداري الصاعد، ما وفر دعمًا ديناميكيًا وعدم استقرار علوي ساعدا على تعزيز الرفع الواسع النطاق فوق جنوب العراق.

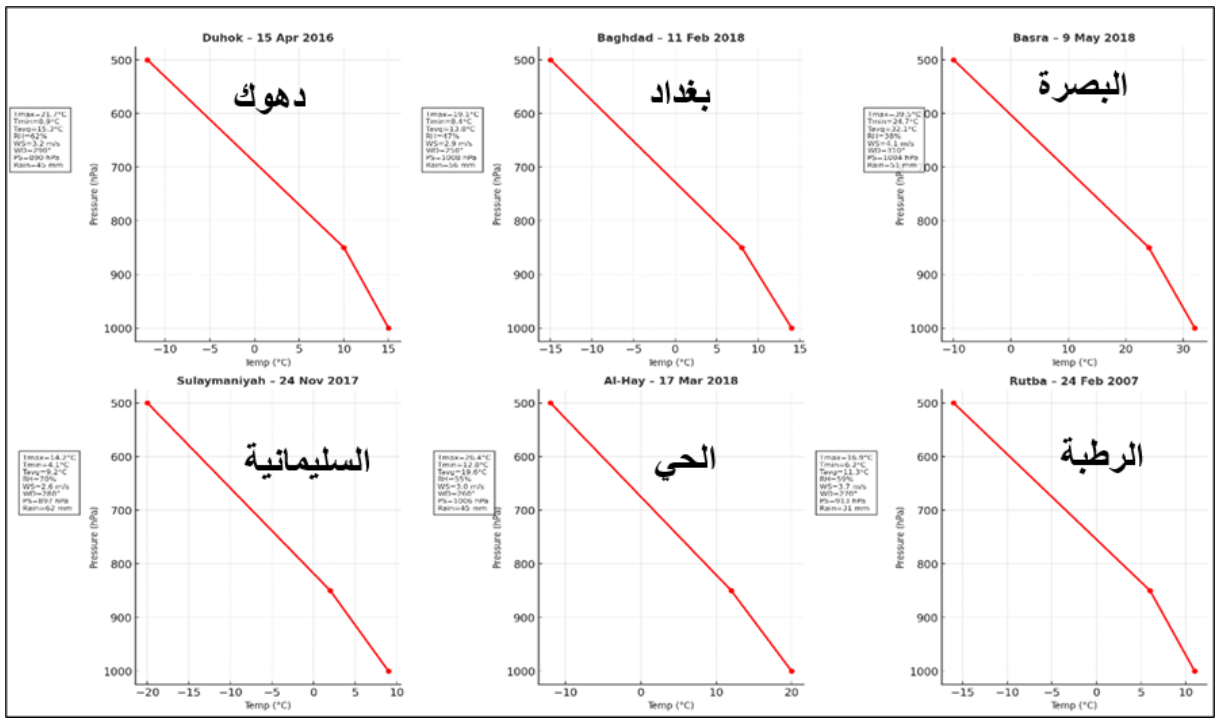
# بحلسة آداب كركسوك، الجلد الأول ، العدد الثالث، أيلول ٢٠٢٥

انعكست هذه المنظومات في العناصر المناخية المرصودة في المحطة، إذ بلغ متوسط الحرارة اليومية (٣٢,١°م) مع رطوبة نسبية (٣٠،٠)، وهي بيئة أسهمت في توليد طاقة حمل حراري كامنة تفاعلت مع عدم الاستقرار العلوي لتشكيل خلايا رعدية مطرية كثيفة. إنّ التزامن بين المرتفع السيبيري عند ١٠٠٠ هكتوباسكال، وامتداد المنخفض القطبي عند ٨٥٠ هكتوباسكال، وتأثيرات انبعاج التيار المداري عند ٥٠٠ هكتوباسكال، قد هيأ الظروف لحدوث حالة مطرية قوية وغير معتادة في جنوب العراق.

والشكل (٦) يوضح التغير الرأسي لدرجة الحرارة مع الضغط الجوي (المقطع الرأسي الحراري) للمحطات المناخية في العراق خلال حالات مطرية مختارة، يمكن تلخيص التحليل وفق المحطات بالترتيب كما يلى:

- 1. **دهوك 10 نيسان ٢٠١٦:** يظهر منحنى الانخفاض الحراري بانتظام مع الارتفاع، بمعدل تبريد قريب من المعدل الرطب ( $\approx$ 7,0 $\alpha$ ). هذا النمط يعكس بيئة غير مستقرة ساعدت على تشكل أمطار غزيرة بفعل التضاريس الجبلية.
- السليمانية ٢٤ تشرين الثاني ٢٠١٧: التدرج الحراري المنتظم مع برودة قوية في الطبقات العليا يعكس بيئة جبلية غير مستقرة. دعم ذلك تدفقا رطبا من شرق المتوسط، ما أدى إلى هطول غزير جداً (٦٢ ملم).
- 7. الرطبة ٢٤ شباط ٢٠٠٧: يبين الملف الحراري برودة معتدلة في الطبقات العليا مع ميل رأسي شبه منتظم. على الرغم من الطبيعة الجافة للمنطقة، إلّا أنّ التدرج الحراري مع تقارب الرياح السطحية سمح بحدوث هطول شديد (٣١ ملم).
- 3. يغداد 11 شياط ٢٠١٨: يبين الميل الرأسي تبريداً واضحاً حتى مستوى ٥٠٠ هكتوباسكال، ما يشير إلى عدم استقرار ديناميكي. وجود فرق حراري ملحوظ بين الطبقات يعزز الرفع الجبهي المصاحب للمنخفضات الشتوية، وهو ما فسر الهطول الغزير (٥٦ ملم).
- ٥. الحي ١٧ آذار ٢٠١٨: الانحدار الحراري متوسط لكنه مقرون برطوبة كافية عند ٨٥٠ هكتوباسكال وأخدود علوي بارد. هذا التزامن بين التسخين السطحي وعدم الاستقرار العلوي أسفر عن هطول غزير (٥٠ ملم).
- 7. <u>البصرة ٩ آيار ٢٠١٨: يظهر</u> فروقاً حرارية كبيرة بين السطح والطبقات العليا<sup>°</sup> T>30 م عند السطح مقابل قيم سالبة عند ٥٠٠ هكتوباسكال .(هذا التباين يولد طاقة حمل حراري عالية(CAPE) ، ما هيأ لعواصف رعدية غير اعتيادية في بيئة شبه صحراوية.

### الشكل (٦) التغير الرأسي لدرجة الحرارة



المصدر: الاعتماد على https://vortex.plymouth.edu

ويتضح أنّ جميع المحطات تتشارك في ميل حراري رأسي يدل على حالة عدم استقرار بدرجات متفاوتة، لكن شدة الهطول ارتبطت بقوة التباين بين السطح والطبقات العليا، وتوافر الرطوبة، وأثر التضاريس، إذ أظهرت المحطات الجبلية (دهوك، السليمانية) استجابة أكبر بينما المحطات الصحراوية والجنوبية (الرطبة، البصرة) اعتمدت على تداخل استثنائي بين التسخين السطحي والتبريد العلوي.

### رابعا: الاستنتاجات:

- 1. هيمنة الأمطار الخفيفة :أظهرت النتائج أنّ الأمطار الخفيفة هي النمط السائد في جميع محطات العراق (٢٠٠٧–٢٠١٨)، بما يعكس الطبيعة شبه الجافة للمناخ العراقي، مع تسجيل تذبذبات موسمية وسنوية مرتبطة بالمنخفضات المتوسطية.
- 7. التباين المكاني للشدات المطرية: برزت المحطات الشمالية (دهوك، السليمانية) كأكثر المناطق تعرضًا للأمطار المتوسطة والشديدة بفعل التضاريس الجبلية والتأثيرات الرطبة القادمة من شرق المتوسط، بينما تراجعت هذه الشدات في الوسط والجنوب لتبقى محدودة وغالبًا مرتبطة باضطرابات جوية استثنائية.

# عِلْسة آداب كركسوك، الجلد الأول ، العدد الثاث، أيلول ٢٠٢٥

- 7. التباين الزماني (ساعي-شهري-سنوي): يتوزع النمط الزماني للأمطار على فترات ليلية وفجرية للأمطار الخفيفة، وصباحية-ظهرية للمتوسطة، ومسائية للشديدة، في حين أنّ الأمطار الغزيرة جدًا نادرة وغير منتظمة، ممّا يعكس طبيعة الأنظمة الجوية المؤثرة.
- 3. ندرة الحالات الغزيرة جدًا: أظهرت البيانات أنّ الأمطار الغزيرة جدًا/العنيفة تكاد تكون معدومة، واقتصرت على حالات استثنائية محدودة في بغداد، السليمانية، والبصرة، وهو ما يعكس هشاشة السجل المناخى أمام الحالات المطربة القصوى.
- •. دور المنظومات الجوية والطوبوغرافيا :أكدت النماذج التحليلية أنّ التفاعل بين الأخاديد العلوية، والمنخفضات السطحية، والتغذية الرطبة من شرق المتوسط والخليج العربي، إضافة إلى أثر التضاريس، يشكل العامل الحاسم في توليد الأمطار المتوسطة—الشديدة في العراق.
- 7. الأبعاد التطبيقية والتنبؤية :يبرهن التحليل أنّ دراسة التباين المكاني-الزماني للشدات المطرية يوفر أساسًا علميًا لإدارة الموارد المائية والحد من مخاطر الفيضانات والسيول، كما يرفد النماذج التنبؤية المستقبلية بقاعدة بيانات مكانية يمكن الاعتماد عليها في خطط التكيف مع التغير المناخي.

								,		
الكمية (ملم)	PS (hPa)		WS10m (m/s)		0	Tmin (°C)	Tmax (°C)	الساعة	التاريخ	المحطة
45.0	890	290	3.2	62	15.3	8.9	21.7	4	2016/٤/١٥	دهوك
56.0	1008	250	2.9	٧٤	13.8	8.4	19.1	7	2018/02/11	بغداد
51.0	1004	310	4.1	٦٠	32.1	24.7	39.5	7	09/05/2018	البصرة
62.0	897	280	2.6	70	9.2	4.1	14.2	10	24/11/2017	السليمانية
45.0	1006	260	3.0	٧٥	19.6	12.8	26.4	2	17/03/2018	الحي
31.0	913	270	3.7	59	11.3	6.2	16.9	4	24/02/2007	الرطبة

الملحق (١) الخصائص المناخية للنماذج المختارة

### المصادر العربية:

- الهيئة العامة للأنواء الجوية والرصد الزلزالي، (2018) ، التقرير السنوي للمناخ ٢٠١٨ ، بغداد: قسم المناخ.
- مالك ناصر عبود الكناني، & هند حسن مطشر. (۲۰۲۰). التحليل السينوبتكيي لتكرار الأمطار الغزيرة في العراق. Journal of Education College Wasit University, 2(39), 233-250. المجلة العراق. 105-117 . 36(2) ، تحليل العوامل المناخية المصاحبة للأمطار الشديدة في العراق(2) ، 117-126.

### المصادر الأجنبية:

- Abbas, F., & Abdulrahman, R. (2019). Climate change impacts on rainfall variability in the Kurdistan Region of Iraq. *Journal of Atmospheric Research*, 215, 45–56. https://doi.org/10.1016/j.atmosres.2018.08.015
- AlAnsari, N. (2019). Rainfall trends and climate variability over Iraq. *Journal of Earth Sciences and Geotechnical Engineering*, 9(3), 1–22.

- Al-Khudhairy, D. H., & Al-Khateeb, N. A. (2014). Climatic characteristics of western desert of Iraq. *Arabian Journal of Geosciences*, 7(12), 5027–5038. https://doi.org/10.1007/s12517-013-1102-9
- Al-Kubaisi, Q., & Al-Khalidy, S. (2015). Synoptic patterns associated with heavy rainfall over southern Iraq. *Iraqi Journal of Science*, 56(4), 3450–3463.
- Al-Lami, A. M., Al-Timimi, Y. K., & Al-Shamarti, H. K. A. (2021). Spatiotemporal analysis of some extreme rainfall indices over Iraq (1981–2017). *Scientific Review Engineering and Environmental Sciences*, 30(2), 221–235. <a href="https://doi.org/10.22630/PNIKS.2021.30.2.19">https://doi.org/10.22630/PNIKS.2021.30.2.19</a>
- Al-Timimi, Y. K., Al-Jiboori, M. H., & Al-Ali, S. H. (2015). Climate variability and extreme rainfall events in central Iraq. *Theoretical and Applied Climatology*, *122*(3–4), 713–724. https://doi.org/10.1007/s00704-014-1312-9
- CHRS Data Portal. (2024). Center for Hydrometeorology and Remote Sensing (CHRS), University of California, Irvine: PERSIANN Precipitation Data Products (PERSIANN-CDR, PERSIANN-CCS). Retrieved from <a href="https://chrsdata.eng.uci.edu">https://chrsdata.eng.uci.edu</a>
- CGIAR-CSI. (2014). SRTM 90m Digital Elevation Database v4.1. Consortium for Spatial Information. Retrieved from <a href="https://srtm.csi.cgiar.org">https://srtm.csi.cgiar.org</a>
- Hershfield, D. M. (1961). Rainfall Frequency Atlas of the United States for Durations from 30 Minutes to 24 Hours and Return Periods from 1 to 100 Years. U.S. Weather Bureau, Department of Commerce.
- Plymouth State University. (2024). Vortex Weather Maps Upper Air and Surface Weather Analysis Charts (500, 850, 1000 هکتوباسکال. Retrieved from https://vortex.plymouth.edu
- Rasheed, H. R., & Al-Mahmood, S. H. (2018). Moisture transport and convective storms over Basrah: A synoptic analysis. *Basrah Journal of Science*, *36*(2), 112–126.
- Salman, H. H., & Al-Saadi, H. A. (2015). Climatic classification of Basra Province and its environmental implications. *Basra Journal of Science*, 33(1), 115–128.
- USGS. (2015). Shuttle Radar Topography Mission (SRTM) 30 m Digital Elevation Data. United States Geological Survey, Earth Explorer. Retrieved from https://earthexplorer.usgs.gov
- World Meteorological Organization (WMO). (2012). *Guide to Meteorological Instruments and Methods of Observation* (WMO-No. 8, 2012 Edition, Updated 2014). Geneva: WMO. Retrieved from https://library.wmo.int/doc\_num.php?explnum\_id=4147
- E3S Web of Conferences. (2024). Climatic factors and extreme rainfall events in Iraq. E3S Web of Conferences, 496, 01012. https://doi.org/10.1051/e3sconf/202449601012